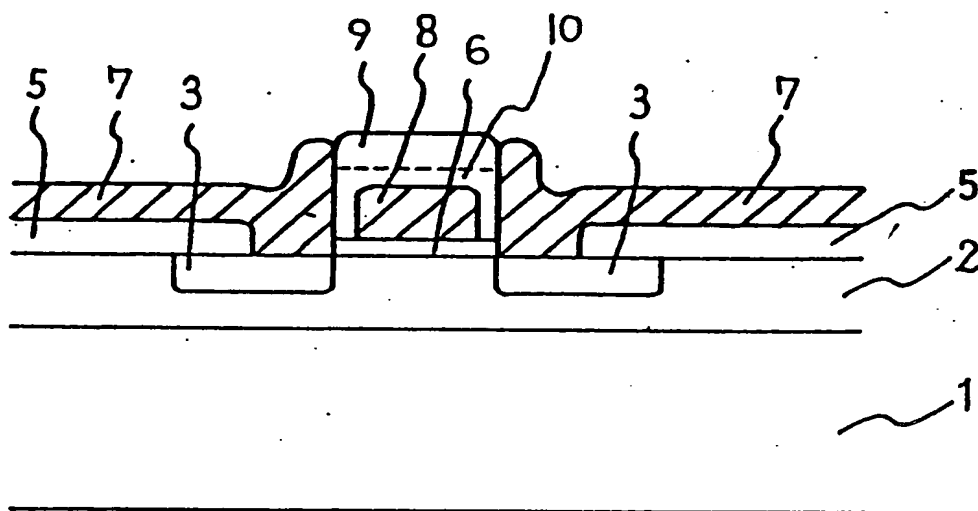


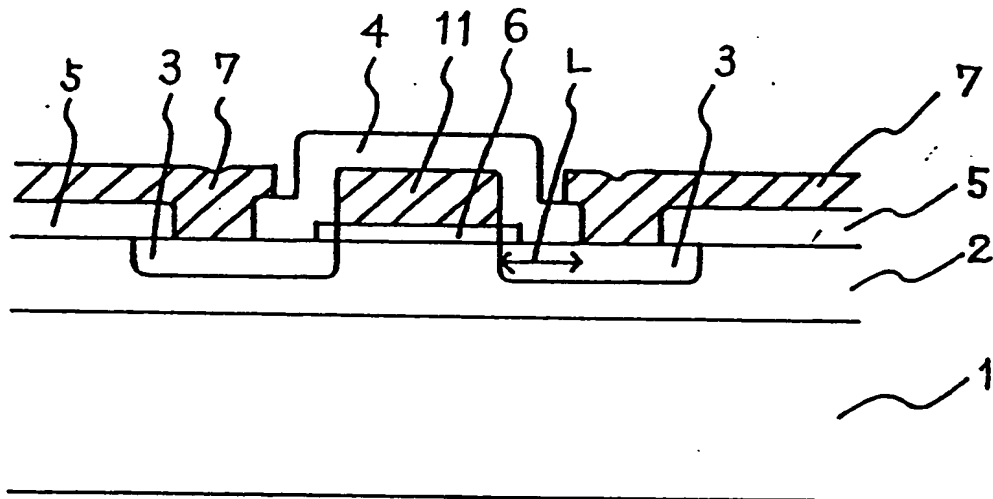
841644

Fig. 1



841644

Fig. 2

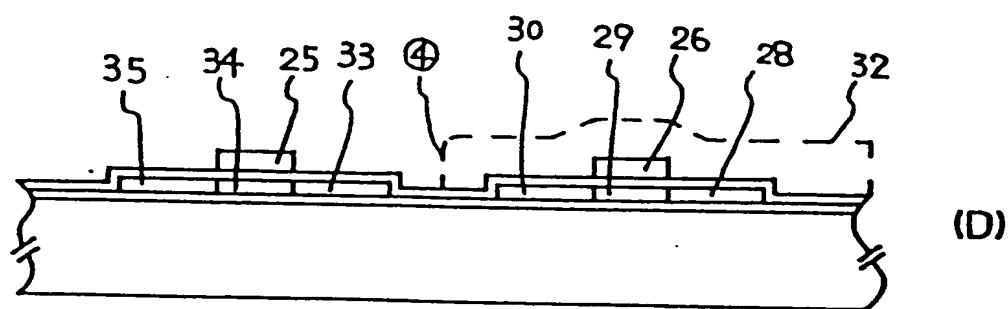
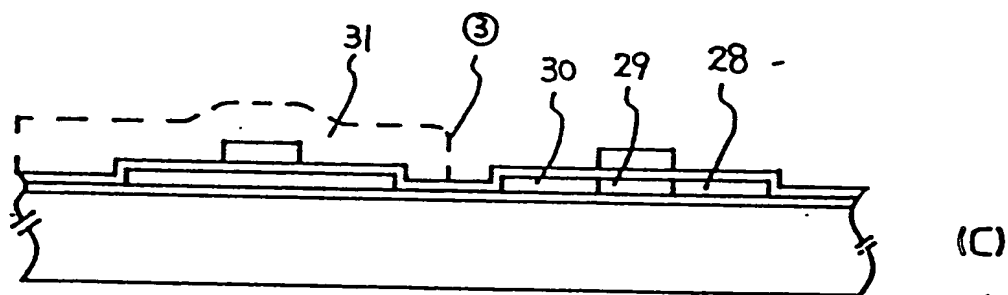
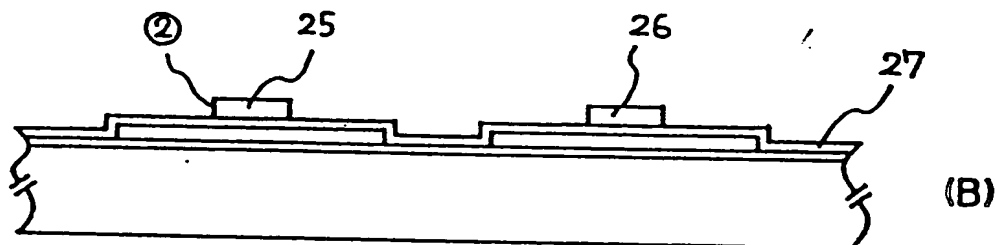
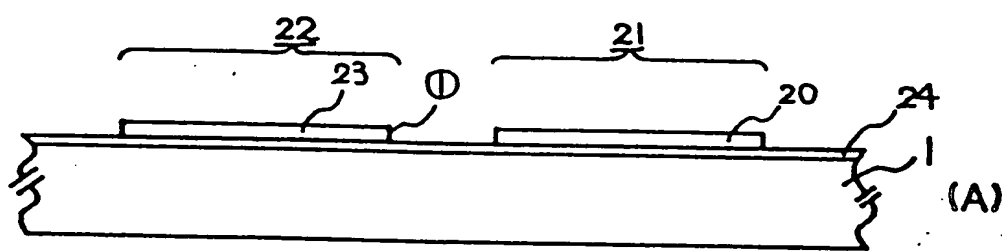


841644

Fig. 3

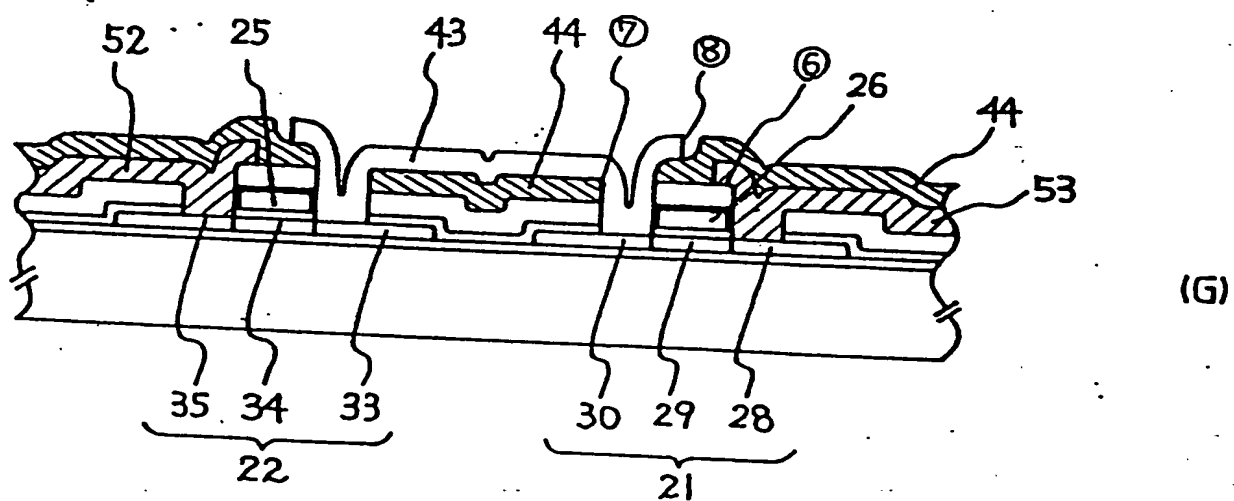
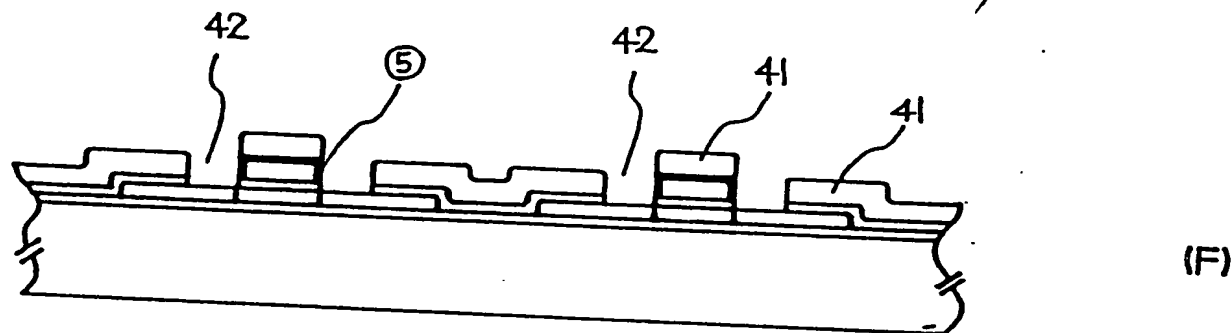
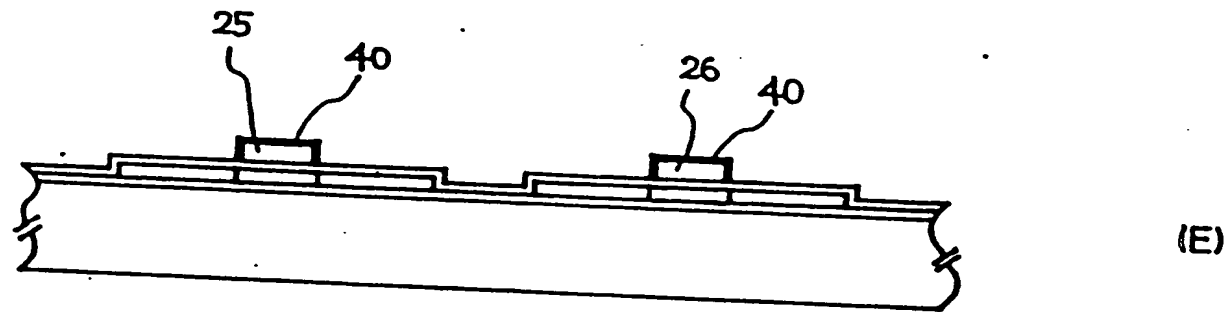
NTFT

PTFT



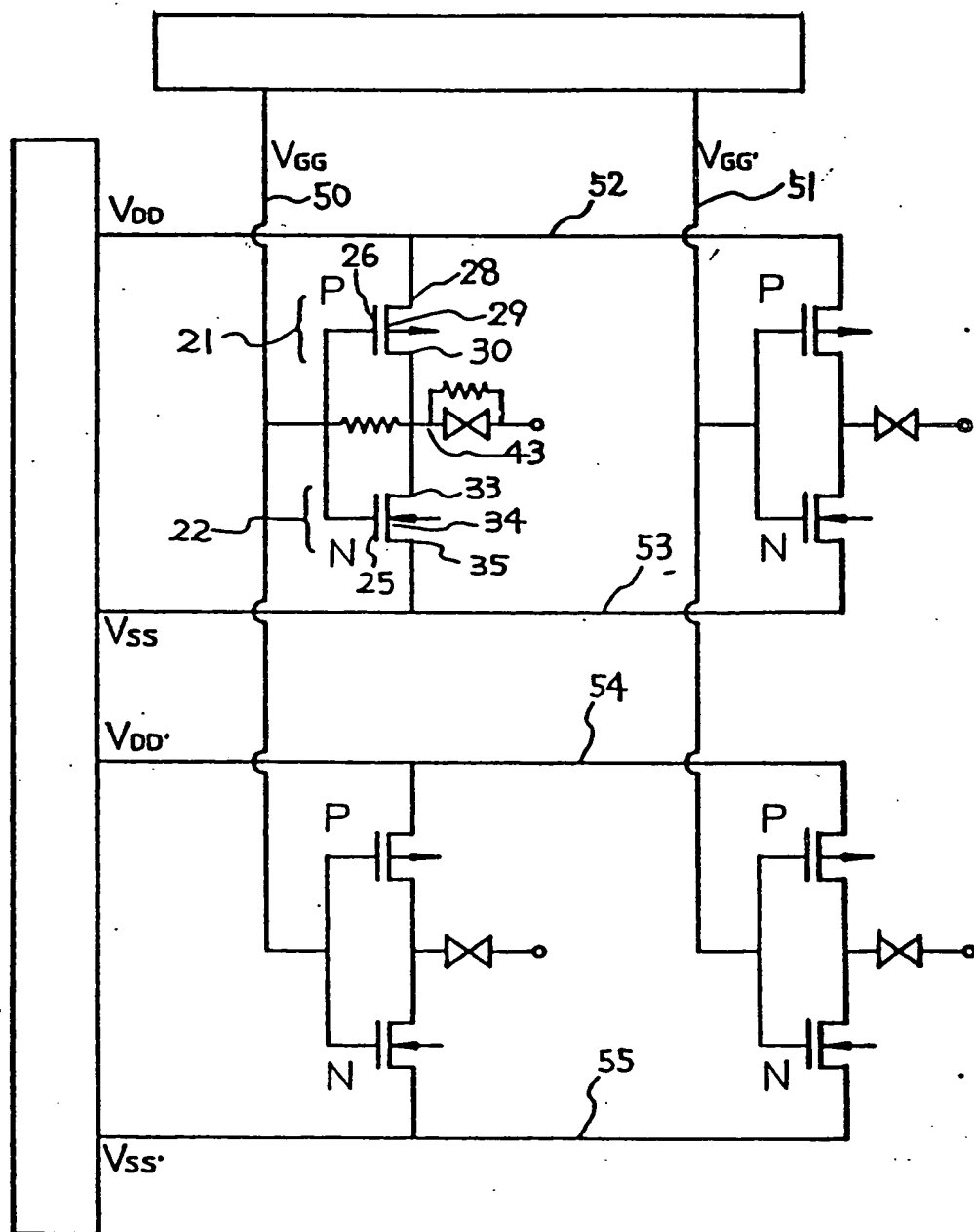
841644

Fig. 3



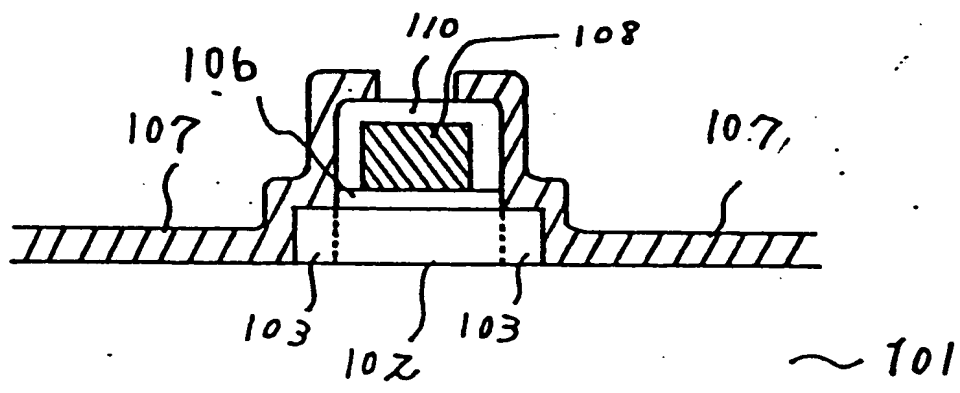
841644

Fig. 4



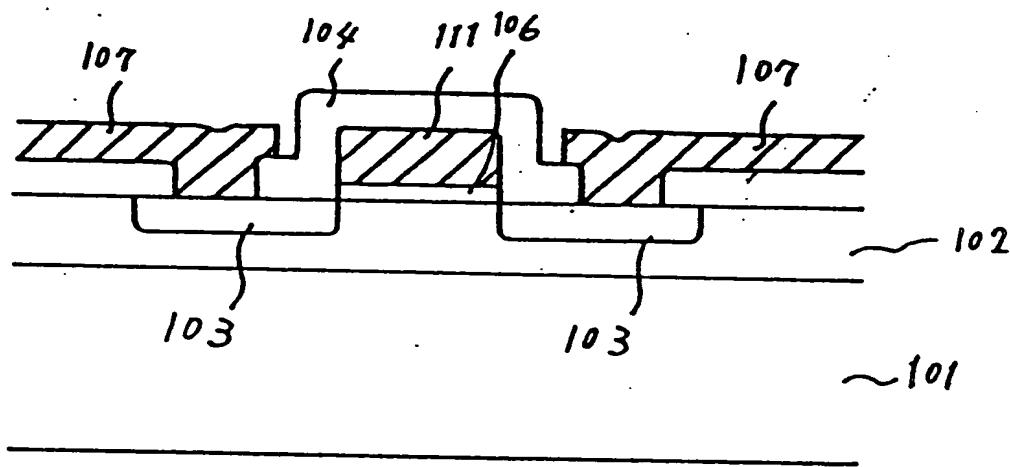
841644

Fig. 5



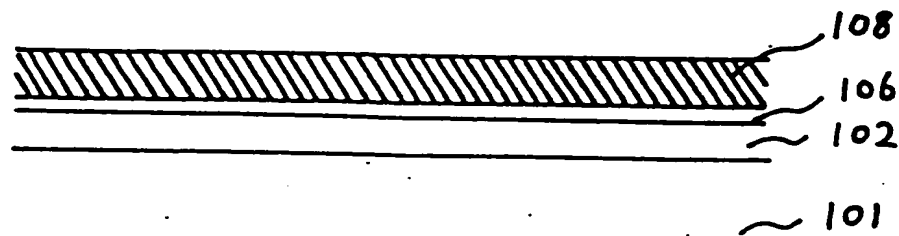
841644

Fig. 6

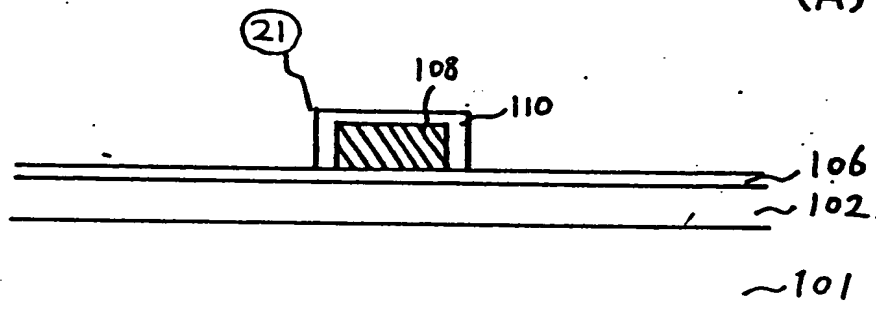


841644

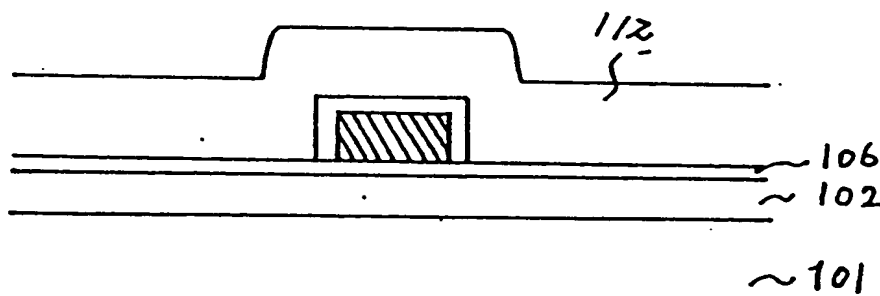
Fig. 7



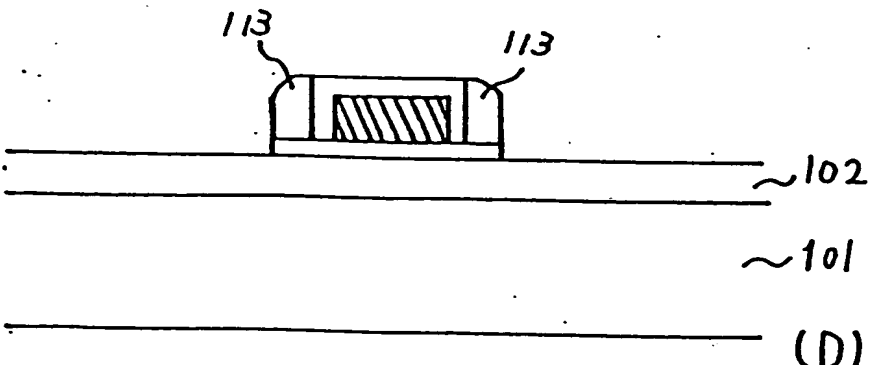
(A)



(B)



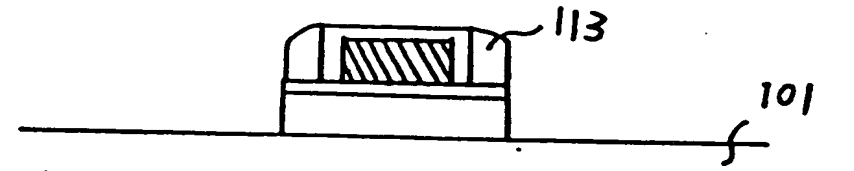
(C)



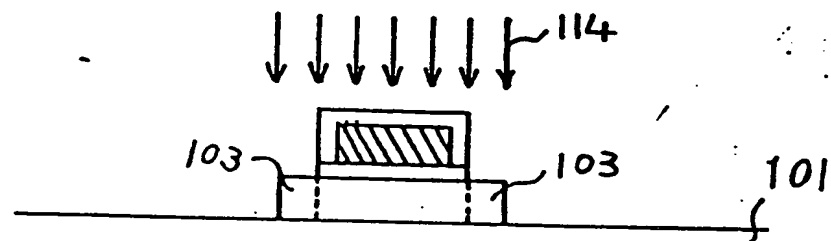
(D)

841644

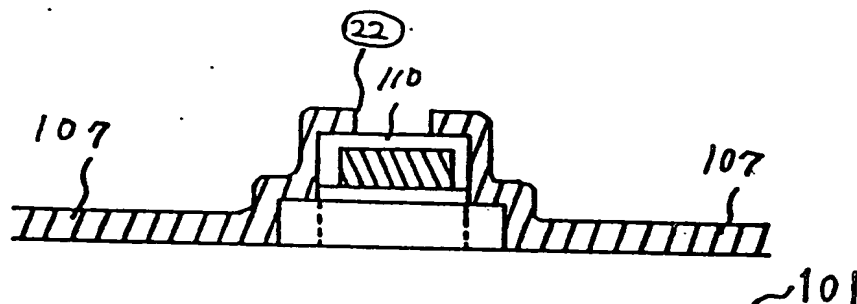
Fig. 7



(E)



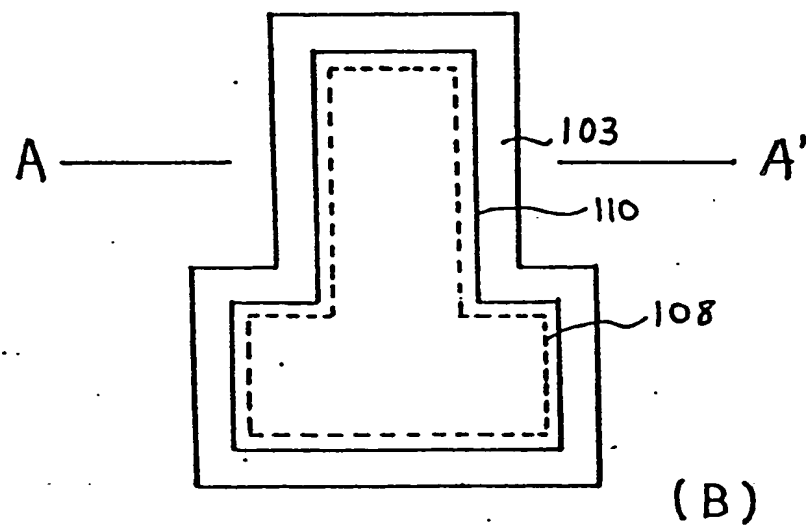
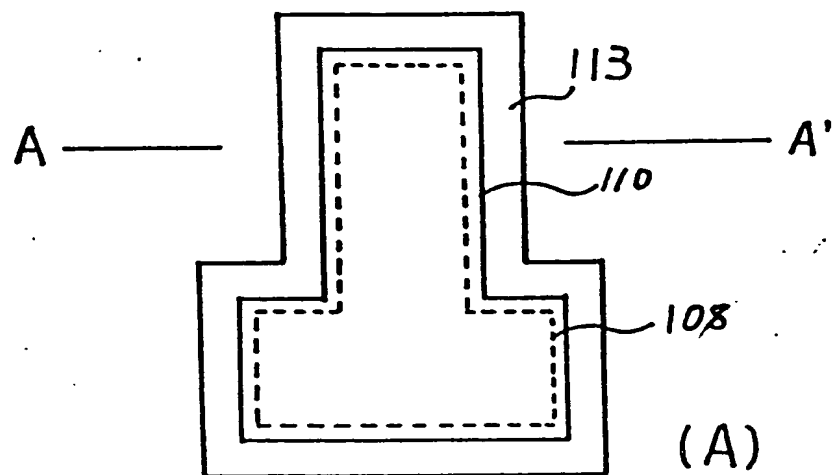
(F)



(G)

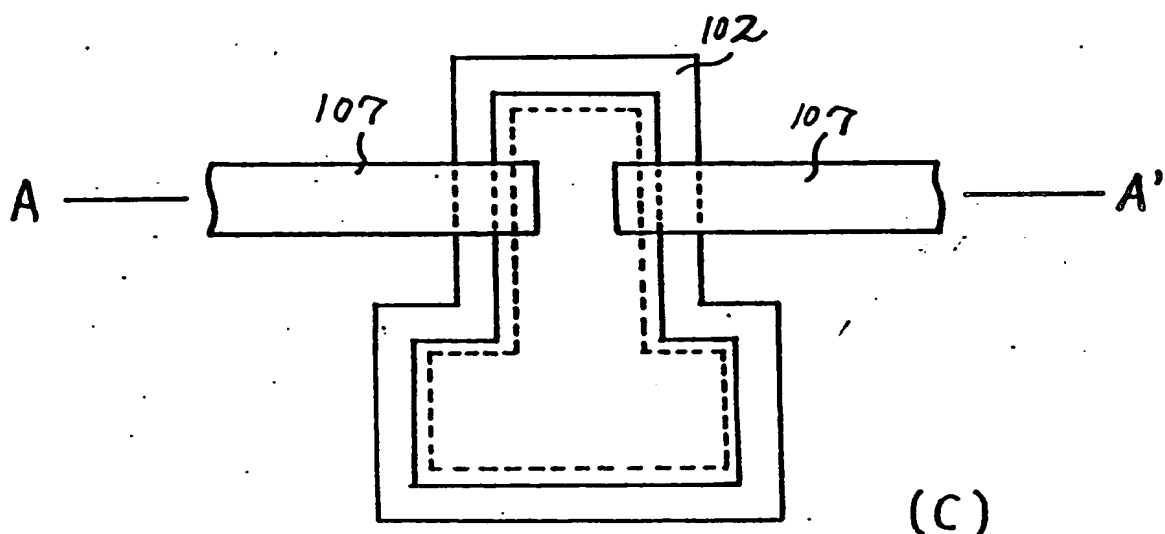
841644

Fig. 8

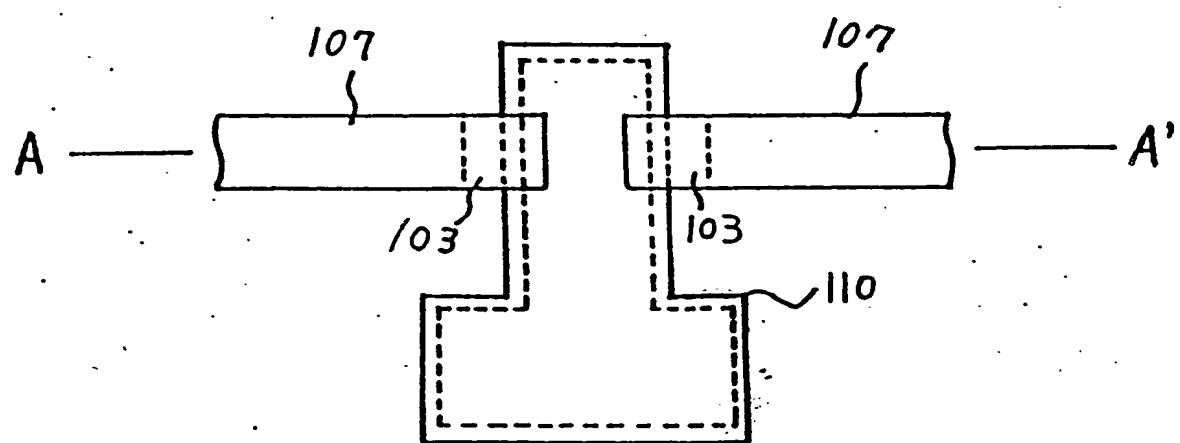


841644

Fig. 8



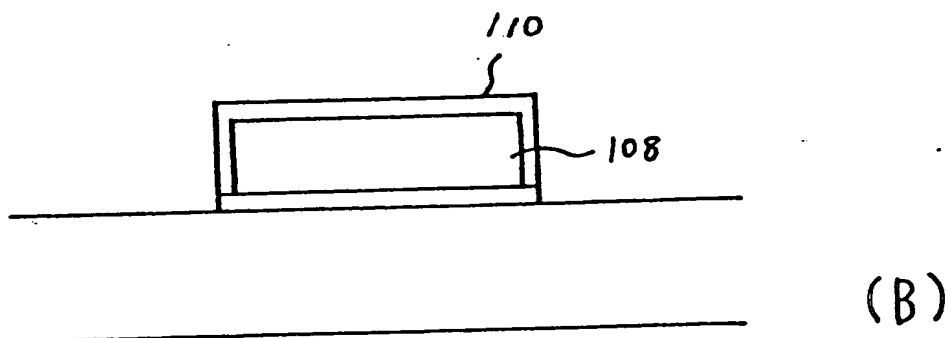
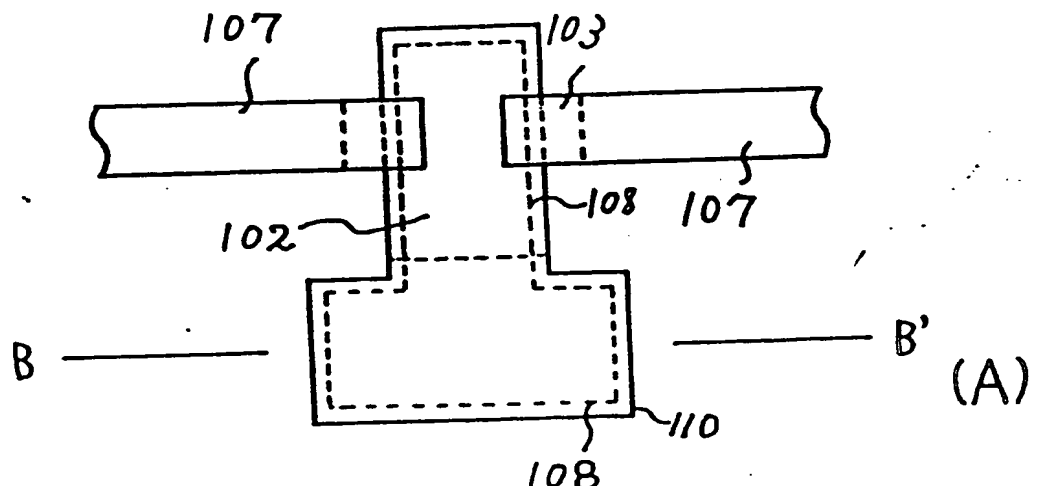
(C)



(D)

841644

Fig. 9



841644

Fig. 10

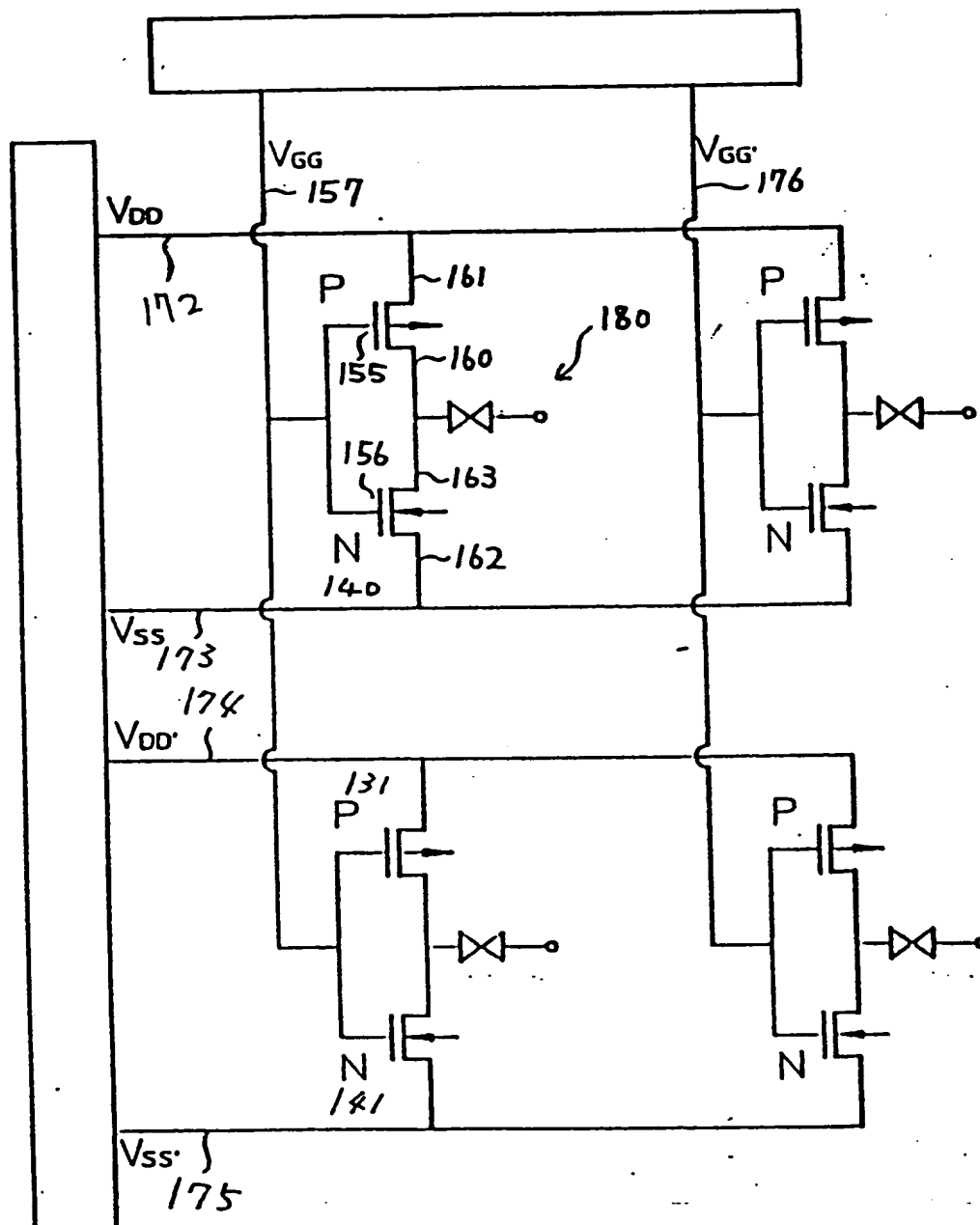
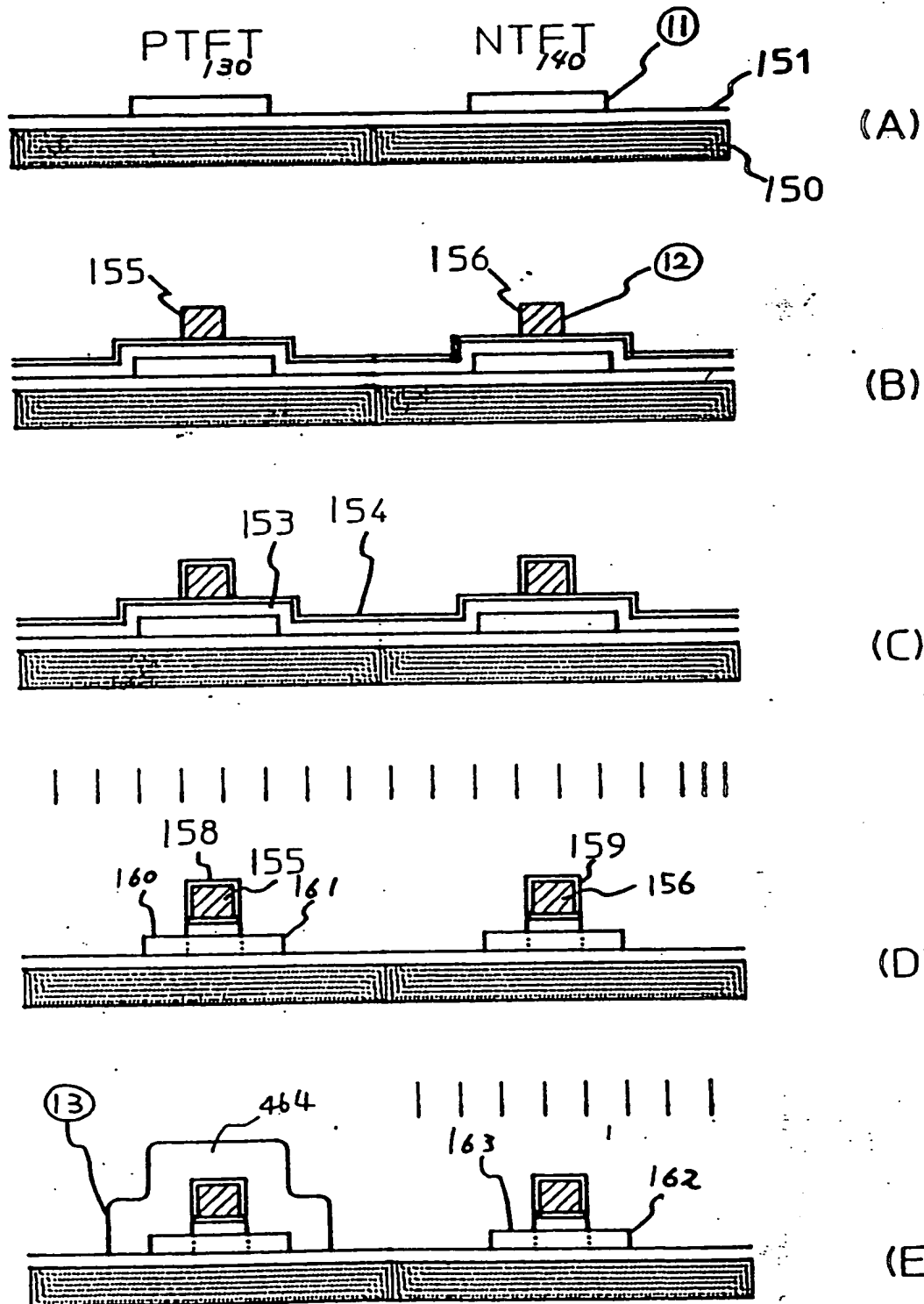
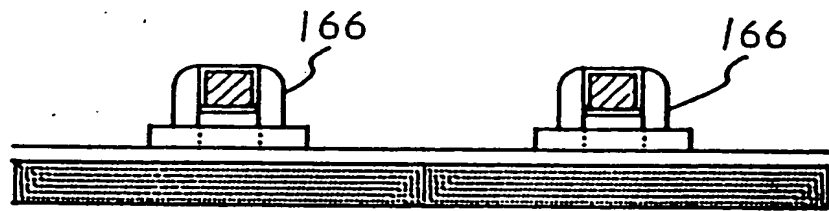


Fig. 11

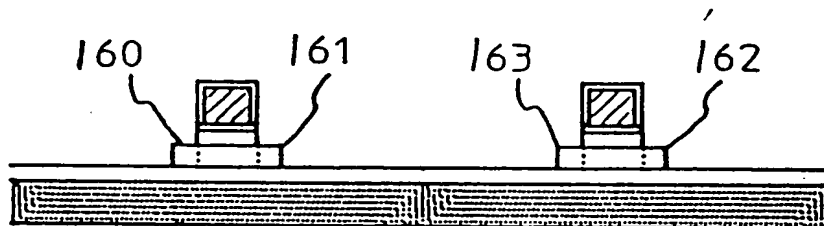


841044

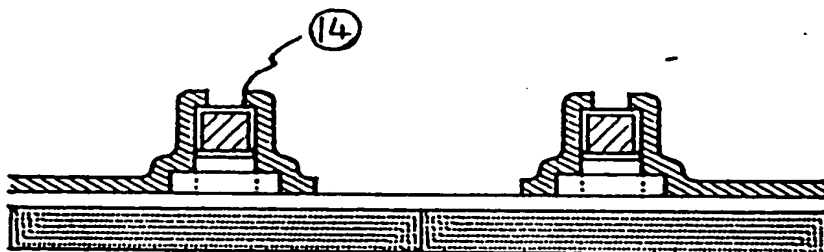
Fig. 11



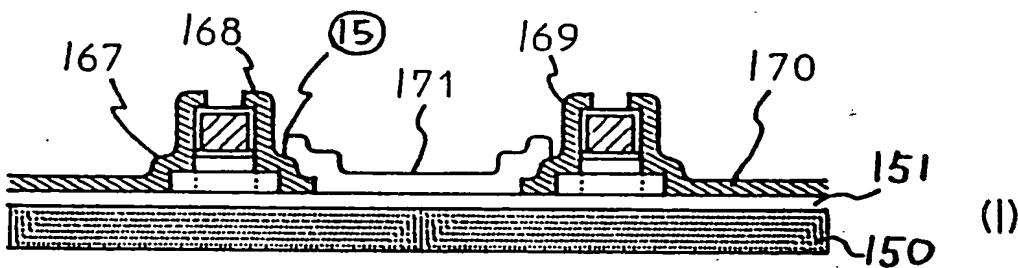
(F)



(G)



(H)

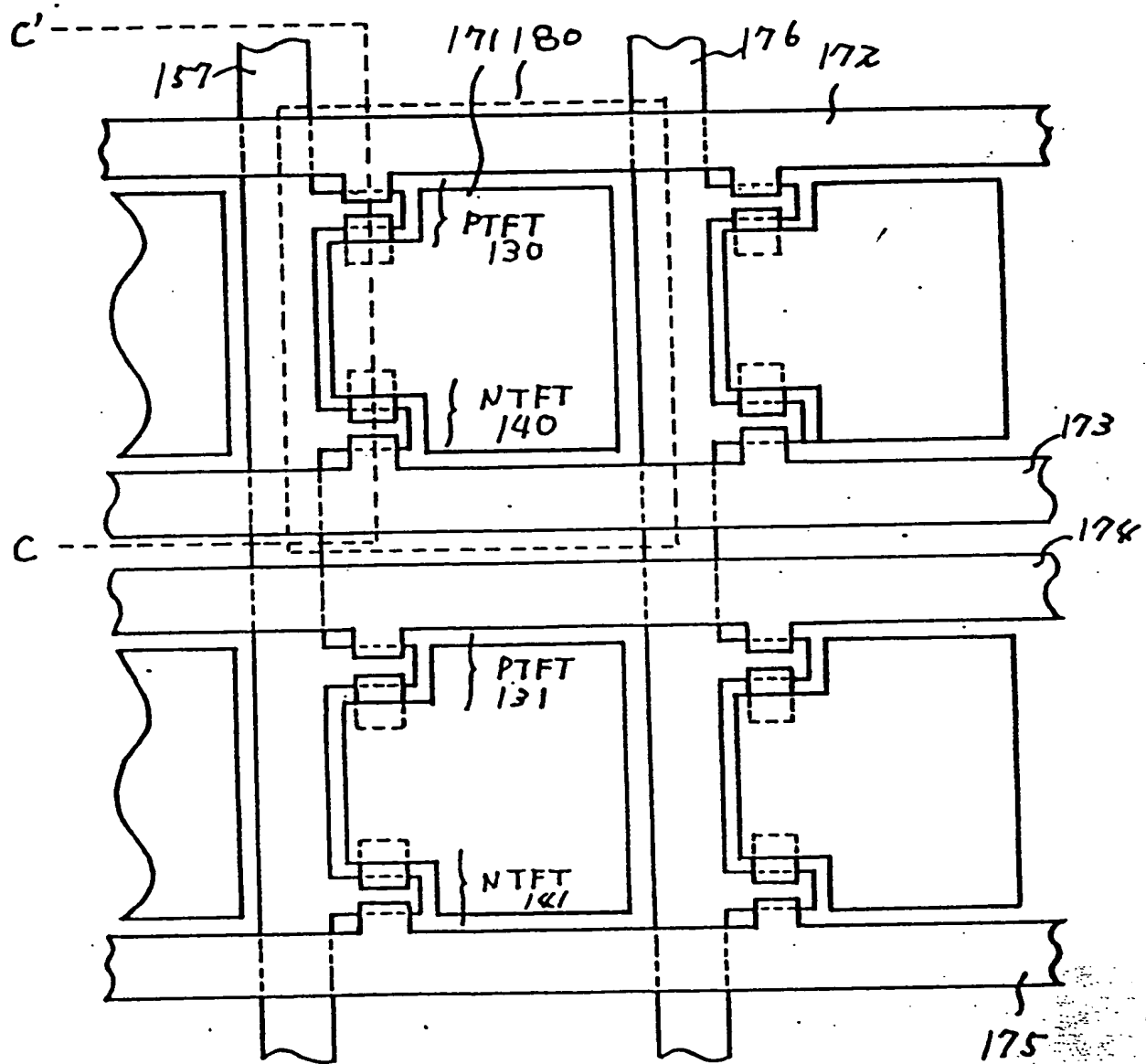


(I)

100

841644

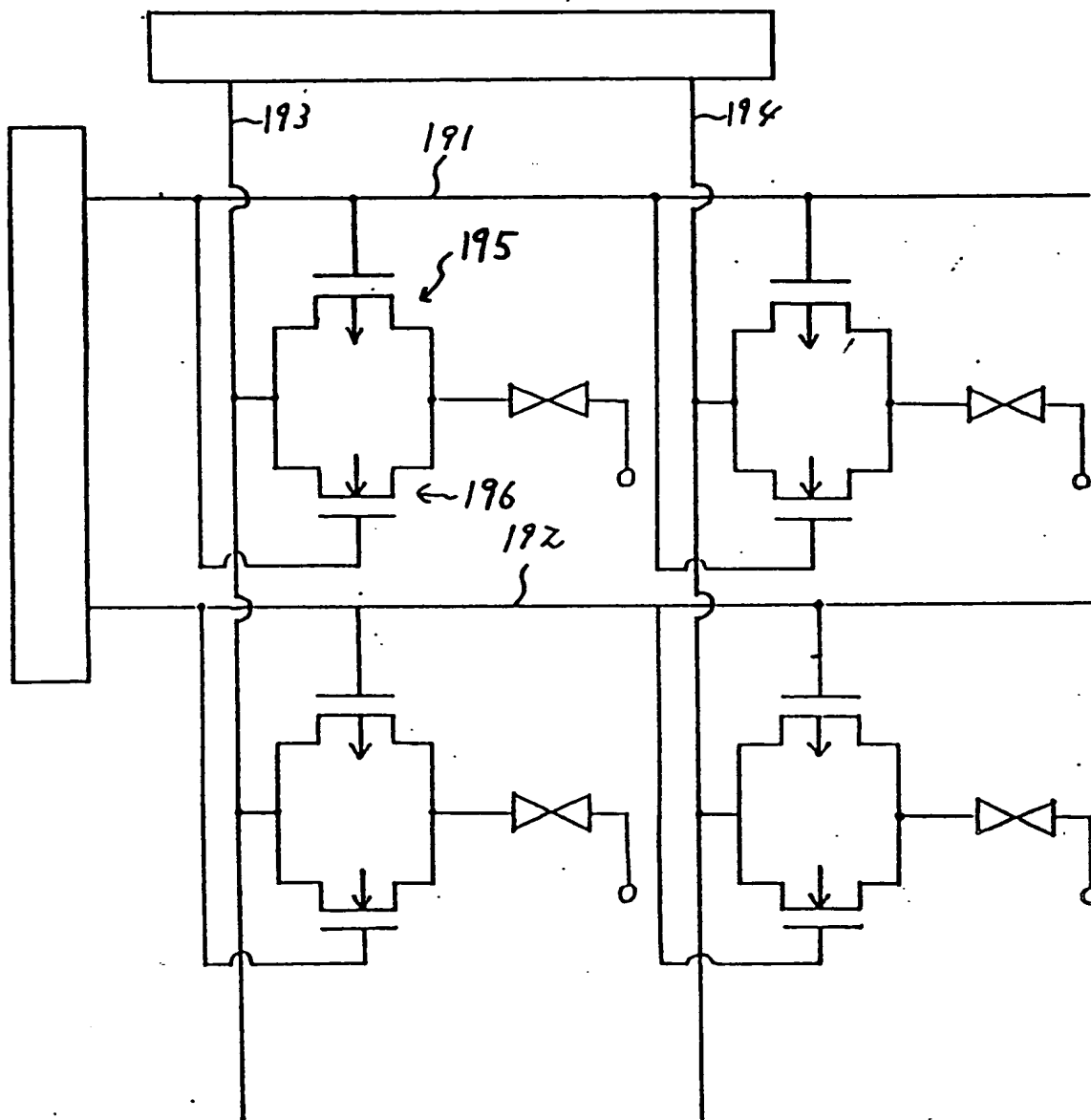
Fig. 12



088441644, 043092

841644

Fig. 13



08841644.04309

841644

Fig. 14

